

ДИНАМІЧНА КОНЦЕНТРАЦІЯ НАПРУЖЕНЬ В ОКОЛІ ЗАГЛИБЛЕНОГО ТОНКОГО ПРЯМОЛІНІЙНОГО ВКЛЮЧЕННЯ НИЗЬКОЇ ЖОРСТКОСТІ В УМОВАХ АНТИПЛОСКОЇ ДЕФОРМАЦІЇ

Досліджуються нестационарні напруження поблизу країв прямолінійного тонкого тунельного включення змінної товщини та низької жорсткості, що знаходиться у пружному півпросторі паралельно до поверхні. Пружна система перебуває в умовах поздовжнього зсуву при дії на неї імпульсу SH-хвиль. Методика дослідження ґрунтується на використанні інтегрального перетворення Фур'є за часом, методу сингулярних інтегральних рівнянь і методу ортогональних многочленів.

У роботі [2] досліджено особливості поведінки напружень поблизу країв тонкого пружного тунельного включення у півпросторі за умов поздовжнього зсуву та усталених коливань композиту. У цій статті запропонований там алгоритм у поєднанні з методом інтегрального перетворення Фур'є за часом застосовується для вивчення концентрації напружень в околі тонких неоднорідностей у півпросторі при дії на них імпульсів SH-хвиль різної форми. Вивчається також випадок приповерхневих дефектів, що має важливе практичне і теоретичне значення внаслідок наявності резонансних частот у спектрах розсіяних сигналів [1, 6]. У подібних постановках задачі дифракції пружних хвиль на тонких недосконалостях розглядалися раніше в [2–5, 7].

Розглянемо однорідне напівобмежене середовище $x_2 \leq H$, $|x_1| \leq \infty$ з модулем зсуву μ і густиною ρ , у якому знаходиться тонке пружне тунельне включення з параметрами μ_0 , ρ_0 , що в довільному поперечному перетині займає область $W_\varepsilon = \{(x_1, x_2) : |x_1| \leq a, 2|x_2| \leq h(x_1)\}$ (тут $h(x)$ і $2a$ – товщина та довжина неоднорідності; $\mathbf{x} = (x_1, x_2)$ – прямокутна система координат). Між включенням і зовнішнім середовищем має місце ідеальний механічний контакт. Припускаємо, що пружна система знаходиться в умовах поздовжнього зсуву при неусталених її коливаннях. У такому випадку відмінна від нуля компонента вектора зміщень задовольняє рівняння

$$\begin{aligned} \mu \Delta u(\mathbf{x}, t) - \rho \frac{\partial^2}{\partial t^2} u(\mathbf{x}, t) &= 0, & \mathbf{x} \in \mathbb{R}^2 \setminus W_\varepsilon, \\ \mu_0 \Delta u^0(\mathbf{x}, t) - \rho_0 \frac{\partial^2}{\partial t^2} u^0(\mathbf{x}, t) &= 0, & \mathbf{x} \in W_\varepsilon, \end{aligned} \quad (1)$$

та умови контакту

$$\begin{aligned} u(\mathbf{x}, t) &= u^0(\mathbf{x}, t), \\ \frac{\partial u(\mathbf{x}, t)}{\partial n^0} &= \gamma \frac{\partial u^0(\mathbf{x}, t)}{\partial n^0}, & \mathbf{x} \in \partial W_\varepsilon, & \quad \gamma = \mu_0/\mu, \end{aligned} \quad (2)$$

де $u(\mathbf{x})$ – повне поле зміщень в матриці; $u^0(\mathbf{x})$ – зміщення у включенні; t – час; n^0 – зовнішня нормаль до ∂W_ε .

Припускаємо, що поверхня півпростору вільна від напружень:

$$\frac{\partial u(x_1, x_2, t)}{\partial x_2} = 0, \quad |x_1| < \infty, \quad x_2 = H. \quad (3)$$

На включення набігає імпульс SH-хвиль

$$u^{\text{in}}(\mathbf{x}, t) = u_0 f[\tau - (x_1 \cos \theta_{\text{in}} + x_2 \sin \theta_{\text{in}})/a], \quad (4)$$

де $f(\tau)$ – модуляція імпульсу в часі, $f(\tau) = 0$ при $\tau < 0$; $\tau = ct/a$; θ_{in} – кут падіння хвилі; c – швидкість поперечних хвиль у матриці.

Повне поле зміщень в матриці доцільно подати у вигляді

$$u(\mathbf{x}, \tau) = u^{\text{in}}(\mathbf{x}, \tau) + u^{\text{r}}(\mathbf{x}, \tau) + u^{\text{s}}(\mathbf{x}, \tau),$$

$$u^{\text{r}}(\mathbf{x}, \tau) = u_0 f[\tau - (x_1 \cos \theta_{\text{in}} - (x_2 - 2H) \sin \theta_{\text{in}})/a], \quad (5)$$

де $u^{\text{r}}(\mathbf{x}, \tau)$ – імпульс хвиль, відбитий від поверхні півпростору без включення, складова $u^{\text{s}}(\mathbf{x}, \tau)$ враховує наявність дефекту та задовольняє нульові граничні умови на поверхні матриці.

Використовуючи перетворення Фур'є за часом

$$g(\omega) = \int_{-\infty}^{\infty} g(\tau) \exp(i\omega\tau) d\tau, \quad g(\tau) = \frac{1}{2\pi} \int_{-\infty}^{\infty} g(\omega) \exp(-i\omega\tau) d\omega,$$

для визначення Фур'є-густини $u^{\text{s}}(\mathbf{x}, \omega)$ розв'язку задачі (1)–(5) отримуємо відповідну стаціонарну задачу, вивчену в [2]. Причому

$$u^{\text{in}}(\mathbf{x}, \omega) = u_0 f(\omega) \exp[i\omega(x_1 \cos \theta_{\text{in}} + x_2 \sin \theta_{\text{in}})/a],$$

$$u^{\text{r}}(\mathbf{x}, \omega) = u_0 f(\omega) \exp[i\omega(x_1 \cos \theta_{\text{in}} - (x_2 - 2H) \sin \theta_{\text{in}})/a],$$

де $u^{\text{in}}(\mathbf{x}, \omega)$, $u^{\text{r}}(\mathbf{x}, \omega)$ та $f(\omega)$ – Фур'є-густини величин $u^{\text{in}}(\mathbf{x}, \tau)$, $u^{\text{r}}(\mathbf{x}, \tau)$ та $f(\tau)$ відповідно.

Числові розрахунки проводимо для динамічних коефіцієнтів інтенсивності напружень $K^{\pm}(\tau)$ при сталій товщині включення $h = \varepsilon a$:

$$K^{\pm}(\tau) = \frac{1}{u_0} \lim_{x_1 \rightarrow \pm a} \frac{1}{\sqrt{1 \mp x_1/a}} \Phi(x_1, \tau),$$

$$\Phi(x_1) = u(x_1, +0) - u(x_1, -0), \quad |x_1| < a, \quad x_2 = 0.$$

Алгоритм обчислення величин $K^{\pm}(\omega)$ подано у [2].

У подальшому модуляцію імпульсу за часом приймаємо у такому вигляді ($n_* \geq 0$):

– *квазімонохроматичний імпульс*

$$f(\tau) = \sin(\omega_* \tau), \quad \tau < \tau_*, \quad f(\tau) = 0, \quad \tau > \tau_*;$$

– *імпульс у формі слабкої ударної хвилі*

$$f(\tau) = p_* \tau^{n_*} \exp(-\alpha_* \tau), \quad \tau > 0.$$

На рис. 1, 2 показано часові залежності коефіцієнта інтенсивності напружень $K_0 = K^{\pm}(\tau)$ при $\theta_{\text{in}} = 90^\circ$, $h_0 = H/a = 1.5$ для квазімонохроматичного імпульсу ($\omega_* = 6$, $\tau_* = 1.05$) та імпульсу у формі слабкої ударної хвилі ($\alpha_* = 10$, $n_* = 2$, $p_* = 185$) відповідно. При цьому порівнюються випадки $\gamma_1 = \gamma/\varepsilon = 0$ (тріщина) та $\gamma_1 = 2$. З ілюстрацій бачимо, що наведені результати для різних форм набігаючих на неоднорідність імпульсів $u^{\text{in}}(\mathbf{x}, \tau)$ можна проаналізувати за часами затримки сигналів, що приходять на краї неоднорідності. Збільшення модуля амплітуди K_0 , що починається при $\tau = 0$, відповідає приходу в кінець включення збурювального імпульсу u^{in} .

При $\tau = 2$ на край дефекту приходить імпульс, дифрагований проти-
 лежним його кінцем, а при $\tau = 3$ та $\tau = 6$ приходять імпульси, дифраговані
 краями дефекту та перевідбиті поверхнею півпростору. Причому з ростом
 жорсткості матеріалу спостерігається швидке затухання перших імпульсів,
 що не характерно для другого класу складових часових залежностей. Спо-
 стерігається також зменшення максимального рівня амплітуд коефіцієнта
 інтенсивності при збільшенні параметра γ_1 .

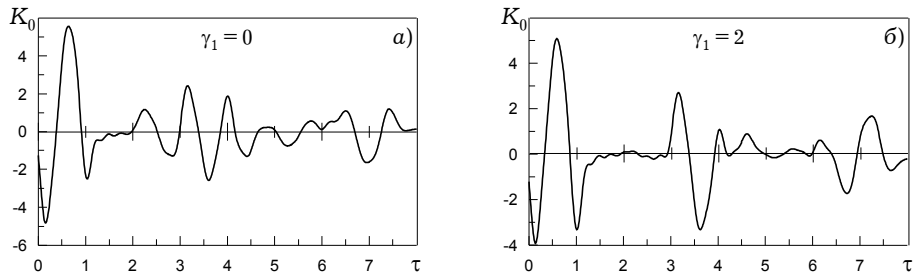


Рис. 1

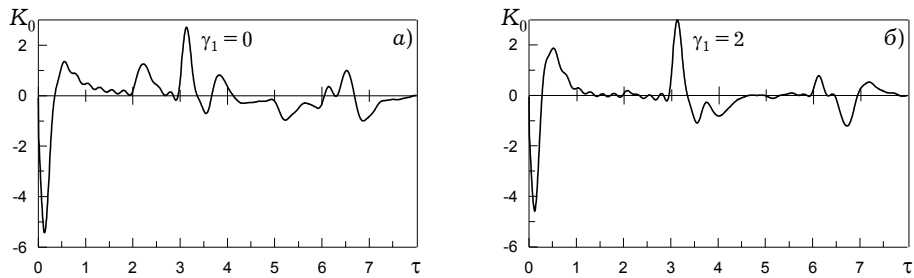


Рис. 2

На рис. 3, 4 наведено часові залежності коефіцієнта K_0 для приповерх-
 невих включень ($\theta_{in} = 90^\circ$, $h_0 = H/a = 0.1$) при $\gamma_1 = 0$ та $\gamma_1 = 1$ відповідно.

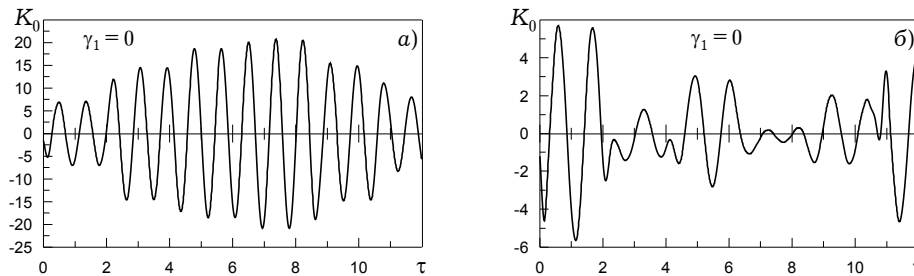


Рис. 3

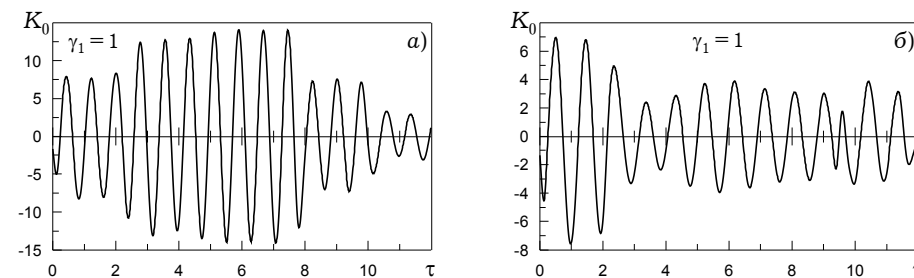


Рис. 4

Припускається, що на дефект набігає квазімонохроматичний імпульс великої тривалості посылки τ_* . Несуча частота імпульсу ω_* вибиралась на максимумах ($\omega_* = 7.3$, $\tau_* = 8.0$ – рис. 3а; $\omega_* = 8.05$, $\tau_* = 7.8$ – рис. 4а) та мінімумах ($\omega_* = 5.8$, $\tau_* = 10.8$ – рис. 3б; $\omega_* = 6.65$, $\tau_* = 9.5$ – рис. 4б) амплітуд відповідних спектральних залежностей. Спостерігається різке збільшення амплітуд коефіцієнтів інтенсивності напружень для приповерхневих дефектів, коли ω_* співпадає з резонансними частотами коливань (рис. 3а, рис. 4а) тонкого прошарку між включенням та поверхнею півпростору [2], що може призвести до швидкого руйнування композиту. Подібні явища описані, наприклад, у [1, 6]. При виборі ω_* на нерезонансних частотах різкого збільшення величини K_0 не спостерігається (рис. 3б, рис. 4б). При цьому наведені результати також можна проаналізувати за часами затримки сигналів, що приходять на краї неоднорідності.

1. Бабешко В. А., Ворович И. И., Образцов И. Ф. Явление высокочастотного резонанса в полуграниченных телах с неоднородностями // Изв. АН СССР. Механика твердого тела. – 1990. – № 3. – С. 74–83.
2. Грилицький М. Д., Кунець Я. І., Матус В. В., Пороховський В. В. Дифракція SH-хвиль тонким прямолинійним тунельним включенням низької жорсткості в півпросторі // Мат. методи та фіз.-мех. поля. – 2006. – 49, № 4. – С. 92–96.
3. Кім Г. С., Кунець Я. І., Міщенко В. О. Взаємодія імпульсів SH-хвиль з тонкими пружними м'якими неоднорідностями // Вісн. Донецьк. ун-ту. Сер. А. – 2002. – № 1. – С. 109–113.
4. Мойсеєнок О. П., Попов В. Г. Концентрація напружень поблизу тонкого пружного включення під дією нестационарної хвилі поздовжнього зсуву // Мат. методи та фіз.-мех. поля. – 2005. – 48, № 4. – С. 172–177.
5. Попов В. Г. Исследование полей перемещений и напряжений при дифракции упругих волн сдвига на тонком жестком отслоившемся включении // Изв. РАН. Механика твердого тела. – 1992. – № 3. – С. 139–146.
6. Keer L. M., Lin W., Achenbach J. D. Resonance effects for a crack near a free surface // Trans. ASME. J. Appl. Mech. – 1984. – 51, No. 1. – P. 65–70.
7. Mykhas'kiv V. Transient response of plane rigid inclusion to an incident wave in an elastic solid // Wave Motion. – 2005. – 41. – P. 133–144.

ДИНАМИЧЕСКАЯ КОНЦЕНТРАЦИЯ НАПРЯЖЕНИЙ ВОЗЛЕ УГЛУБЛЕННОГО ТОНКОГО ПРЯМОЛИНЕЙНОГО ВКЛЮЧЕНИЯ МАЛОЙ ЖЕСТКОСТИ В УСЛОВИЯХ АНТИПЛОСКОЙ ДЕФОРМАЦИИ

Исследуются нестационарные напряжения возле краев прямолинейного тонкого туннельного включения переменной толщины и малой жесткости, которое находится в упругом полупространстве параллельно к поверхности. Упругая система находится в условиях антиплоского сдвига при воздействии на нее импульса SH-волн. Методика базируется на использовании интегрального преобразования Фурье по времени, метода сингулярных интегральных уравнений и метода ортогональных многочленов.

DYNAMIC STRESS CONCENTRATION IN THE VICINITY OF SUBMERGED THIN PLANE INCLUSION OF LOW RIGIDITY UNDER ANTIPLANE STRAIN

The transient stresses near the edges of a thin plane tunnel inclusion of variable thickness and low rigidity that is in elastic half-space in a parallel way to the surface are studied. The elastic system is under the conditions of antiplane shear and under the pulse of SH-wave. The procedure is based on application the integral Fourier time transform, the method of singular integral equations, and method of orthogonal polynomials.

Ин-т прикл. проблем механики і математики
ім. Я. С. Підстригача НАН України, Львів

Одержано
16.09.06